

УДК 625.717.02.001.24.66 (076.5)

ББК О 513-04 р

Р 654

Укладачі: І.О. Бєлінський, І.М. Пліш, А.І. Білеуш
Рецензент В.М. Золотоперий

Затверджено на засіданні науково-методично-редакційної ради Інституту транспортних технологій НАУ 16 червня 2004 року.

Розрахунок та конструювання аеродромних покріттів:
Р 654 Методичні рекомендації до курсового проектування/ Уклад.:
І.О. Бєлінський, І.М. Пліш, А.І. Білеуш – К.: НАУ, 2006. – 48 с.

Наведені приклади розрахунку покріттів можуть бути корисні студентам при виконанні курсових та дипломних проектів з аеродромно-будівельної тематики.

Призначенні для студентів 5-го курсу спеціальності 8.092105 “Автомобільні дороги та аеродроми”.

ЗАГАЛЬНІ МЕТОДИЧНІ ВКАЗІВКИ

Курсовий проект “Розрахунок та конструювання аеродромних покріттів” студенти виконують при вивчені дисципліни “Аеродромні покріття”. Він передбачає опрацювання кожним студентом конструкції двох видів твердого аеродромного покриття – жорсткого і нежорсткого, та розрахунок їх на навантаження від заданих типів літаків.

Мета курсового проекту – закріплення і поглиблення теоретичних та практичних знань у галузі проектування аеродромів, набуття ними умінь самостійно і технічно грамотно вирішувати фахові інженерні завдання.

Завдання курсового проекту – оволодіння інженерними методами розрахунку та конструювання аеродромних покріттів згідно з вимогами нормативних документів; закріплення навичок оформляти графічні матеріали в процесі проектування; набуття навиків роботи з нормативною літературою.

Курсовий проект складається з пояснівальної записки і графічної частини.

Пояснювальна записка має два розділи:

1. Розрахунок та конструювання жорсткого покриття.
2. Розрахунок та конструювання нежорсткого покриття.

Залежно від варіанта завдання на курсовий проект назва цих розділів може уточнюватися стосовно конкретних видів покріттів (наприклад, “Розрахунок та конструювання одношарового армобетонного покриття”, “Розрахунок та конструювання двошарового бетонного покриття”, “Розрахунок та конструювання асфальтобетонного покриття” тощо).

Як ілюстративний матеріал в пояснівальну записку потрібно включати схематичні розрізи конструкцій жорсткого і нежорсткого покріттів, розрахункові схеми передачі навантаження на покриття колесами основної опори шасі літаків.

Графічна частина курсового проекту являє собою креслення “Конструкції жорсткого аеродромного покриття”, на якому має бути показано:

- план розкладки плит на злітно-посадковій смузі (ЗПС) з твердими покріттями і сполучній руліжній доріжці (РД), яка примикає до неї;

- умовні позначення прийнятих конструкцій деформаційних швів;

- розрізи покріттів ЗПС і РД;

- конструкція армобетонної плити (у випадках розробки варіантів армобетонних покріттів, як одношарових, так і двошарових);

- конструкції прийнятих в покрітті деформаційних швів;

- конструкції укріплених ґруntovих ділянок, які примикають до торців злітно-посадкової смуги з твердими покріттями (ТЗПС), вимосток та укріплених узбочин РД.

З метою регулювання трудомісткості виконання графічних матеріалів для студентів, які опрацьовують варіанти армобетонних покріттів, дозволено конструкції деформаційних швів на кресленні не показувати.

Вихідні дані для виконання курсового проекту:

1) клас аеродому;

2) склад навантажень на аеродромні покріття (задаються типи літаків, які експлуатуються на аеродромі);

3) середньорічне число зльотів N_i для кожного типу літаків;

4) варіанти жорсткого і нежорсткого покріттів, які потрібно розрахувати і залогіструювати;

5) вид штучної основи жорсткого покріття;

6) місцеві будівельні матеріали для спорудження штучних основ жорстких і нежорстких покріттів;

7) характеристики природно-кліматичних умов: дорожньо-кліматична зона; географічне розташування району будівництва аеродому; тип гідрогеологічних умов; річна амплітуда середньодобових температур (в градусах Цельсія); вид ґрунту природної основи.

В курсовому проекті розрахунок та конструювання аеродромних покріттів потрібно виконати для найбільш навантажених ділянок групи А [1, п. 5.48]. Перевірку ґруntovих основ покріттів на деформації морозного здимання завданням не передбачено.

Вихідні необхідно взяти з табл. 1 – 3 залежно від сполучення літер прізвища студента. Якщо прізвище містить менше 7 літер, то наступні (яких не вистачає) вихідні дані слід брати для останньої літери прізвища.

Таблиця 1

Вихідні дані для курсового проекту

Літери алфавіту	Клас аеродому	За першою літерою прізвища			За другою літерою прізвища	За третьою літерою прізвища		
		Типи літаків	N_i , зл/рік	Варіант жорсткого покріття				
					Штучна основа жорсткого покріття	Коефіцієнт для визначення		
					n_1	n_2	n_3	
A, Б, В, Г	A	Ан-124-100 Іл-96 F28.Мк2000НТР	10000 n ₁ 10000 n ₂ 10000 n ₃	Двошарове бетонне	Пісково- або ґрунтоцементна	0,3	2,3	0,7
Г, Д, Е, Є	B	B757-200 Ан-70т Ан-26	10000 n ₁ 10000 n ₂ 10000 n ₃	Одношарове армобетонне	Піщана	0,2	1,6	1,8
Ж, З, И, І	B	Іл-86 B737-200 Як-40	10000 n ₁ 10000 n ₂ 10000 n ₃	Одношарове бетонне	Пісково- або ґрунтоцементна	0,7	1,2	2,2
Ї, Й, К, Л	A	Іл-62М Ty-204 Ty-134A	10000 n ₁ 10000 n ₂ 10000 n ₃	Двошарове армобетонне	Піщана	0,6	2,0	1,8
М, Н, О, П	B	Іл-76ТД B737-200 Ан-72	10000 n ₁ 10000 n ₂ 10000 n ₃	Двошарове бетонне	Пісково- або ґрунтоцементна	0,5	1,4	0,9
P, С, T, У	B	Трайдент 3 Як-42 Ан-140	10000 n ₁ 10000 n ₂ 10000 n ₃	Одношарове бетонне	Піщана	0,4	1,7	1,3
Ф, Х, Ц, Ч	A	B747-200F Іл-96 Ан-74	10000 n ₁ 10000 n ₂ 10000 n ₃	Одношарове армобетонне	Пісково- або ґрунтоцементна	0,2	1,8	2,1
Ш, Щ, Ь, Ю, Я	B	Tу-134A Ан-26 Іл-114	10000 n ₁ 10000 n ₂ 10000 n ₃	Одношарове армобетонне	Піщана	0,8	1,1	2,6

Примітки. 1. Назва “двошарове армобетонне” означає двошарове покріття з верхнім армобетонним шаром і нижнім шаром з неармованого бетону.

2. За умовами курсового проекту двошарові покріття слід проектувати із суміщеними швами у верхньому і нижньому шарах і зі стиковими з'єднаннями або крайовим армуванням плит у швах верхнього шару.

3. Для варіантів жорстких покріттів на штучній піщаній основі, а також на піскоцементній основі з піщаним дренувальним шаром (якщо він потрібний) припускається наявність в районі будівництва грубо- чи середньозернистих пісків.

Таблиця 2

Вихідні дані для курсового проекту (продовження)

Літери алфавіту	За четвертою літерою прізвища	За п'ятою літерою прізвища
	Варіант нежорсткого покріття	Місцеві будівельні матеріали для спорудження нежорсткого покріття
А, Б, В, Г	Асфальтобетонні	Щебінь з природного каменя з міцністю при стисканні 80 і 60 МПа, жорсткість з осадочних вапняків
Г, Д, Е, Є	Щебеневе	Щебінь (100 і 80 МПа), грубо- і дрібнозерниста ґрунтогравійні суміші
Ж, З, И, І	Асфальтобетонні	Щебінь (80 МПа), грубо- і дрібнозерниста ґрунтогравійні суміші
Ї, Й, К, Л	Асфальтобетонні	Щебінь (80 і 60 МПа), жорсткість з вивержених гірських порід
М, Н, О, П	Щебеневе	Щебінь (100 МПа), кислі металургійні шлаки
Р, С, Т, У	Асфальтобетонні	Щебінь (60 МПа) – середньозерниста із склошебеневими сумішами
Ф, Х, Ц, Ч	Асфальтобетонні	Щебінь (80 і 60 МПа), грубо- і середньозерниста ґрунтогравійні суміші
Ш, Щ, І, Ю, Я	Щебеневе	Щебінь (100 і 80 МПа), основні металургійні різновернисті шлаки

Примітки. 1. Назва "щебеневе" означає покріття з міцного щебеню підіраного складу, обробленого органічним в'яжучим матеріалом.

2. Застосування асфальтобетонних покріттів для літаків з позакласним і I категорії нормативним навантаженням (примітка до табл. 3) і щебеневих покріттів для літаків з нормативним навантаженням II, III і IV категорій (що з погляду рівня навантажень не рекомендується) в курсовому проекті передбачено лише з навчальною метою.

3. За потребою включення в конструкцію нежорсткого покріття піщеного шару припускається наявність в районі будівництва грубо- чи середньозернистих пісків.

Таблиця 3

Вихідні дані для курсового проекту (закінчення)

Літери алфа-віту	За шостою літерою прізвища			За сьомою літерою прізвища		
	Дорожньо-кліматична зона	Розташування аеродрому відносно 50° північної широти	Річна амплітуда середньодобових температур, С	Тип ґідрогеологічних умов	Грунт природної основи	Коефіцієнт пористості e
А, Б, В, Г	II	> 50°	53,4	1	Супісок	0,62
Г, Д, Е, Є	II	50 – 43°	51,2	2	Глина	0,53
Ж, З, И, І	III	> 50°	48,5	2	Суглинок пилуватий	0,6
Ї, Й, К, Л	III	50 – 43°	46,6	1	Супісок пилуватий	0,74
М, Н, О, П	III	> 50	50,8	1	Супісок	0,81
Р, С, Т, У	IV	50 – 43°	44,1	2	Глина	0,66
Ф, Х, Ц, Ч	IV	> 50°	52,7	2	Суглинок	0,59
Ш, Щ, І, Ю, Я	IV	50 – 43°	43,7	1	Супісок пилуватий	0,84

Примітки. 1. Район будівництва аеродрому розташований на території України.

2. Позначення "> 50°" свідчить про розташування аеродрому на північ від 50° північної широти, а "50 – 43°" – про розташування аеродрому між 50° і 43° північної широти.

Вихідні дані необхідно оформляти на окремому аркуші у вигляді таблиці (табл. 4) і включати в пояснівальну записку (в табл. 4 наведено вихідні дані для студента з прізвищем Петренко).

Таблиця 4

Приклад оформлення вихідних даних для курсового проекту

Літери прізвища	Вихідні дані
П	Аеродром класу Б Літаки: Іл – 76 ТД ($10000 \cdot 0,4 = 4000$ зл/рік), B737- 200 ($10000 \cdot 1,7 = 17000$ зл/рік), Ан – 72 ($10000 \cdot 1,3 = 13000$ зл/рік). Варіант жорсткого покриття – двошарове бетонне
Е	Штучна основа жорсткого покриття – піщана
Т	$n_1 = 0,4; n_2 = 1,7; n_3 = 1,3$
Р	Варіант нежорсткого покриття – асфальтобетонне
Е	Місцеві будівельні матеріали для спорудження штучної основи нежорсткого покриття – щебінь з природного каменя з граничною міцністю при стисканні 100 і 80 МПа, грубо- і дрібно-зернисті ґрунтощебеневі суміші
Н	Дорожньо-кліматична зона – III; район будівництва розташований на північ від 50° північної широти. Річна амплітуда середньодобових температур $50,8^{\circ}\text{C}$
К	Тип гідрогеологічних умов 1; ґрунт природної основи – пилуватий супісок з коефіцієнтом пористості $c = 0,74$

**МЕТОДИЧНІ ВКАЗІВКИ
ДО ВИКОНАННЯ КУРСОВОГО ПРОЕКТУ**

**Розрахунок та конструювання
аеродромних покриттів**

Проектування аеродромних покриттів буває здебільшого варіантним і включає в себе чотири взаємозв'язані етапи:

1) конструювання покриттів – вибір видів покриттів (варіантів), придатних для застосування на даному аеродромі; вибір матеріалів для влаштування конструктивних шарів покриттів і штучних основ; призначення попередньої товщини конструктивних шарів; розробка армування плит; вибір конструкцій деформаційних швів тощо;

2) розрахунок покриттів (за граничним станом відповідної групи) – розрахункова перевірка правильності призначення товщи-

ни конструктивних шарів, виходячи із заданого навантаження (розрахунок забезпечує рівноміцність конкурентоспроможних варіантів покриттів);

3) техніко-економічне обґрунтування вибору покриттів – оцінка економічності конкурентоспроможних варіантів покриттів і на цій основі остаточний вибір найбільш економічного варіанта;

4) оформлення проектної документації – виконання робочих креслень для вираного варіанта покриття і складання пояснювальної записки до проектних матеріалів.

Даний курсовий проект охоплює перший, другий і четвертий з названих етапів проектування. Техніко-економічне обґрунтування вибору покриттів студенти вивчають за програмою дисципліни “Економіка будівництва”. Особливістю виконання першого, другого і четвертого етапів проектування покриттів є те, що з метою зменшення трудомісткості роботи студенти розглядають (на відміну від реальних умов) лише один варіант жорсткого покриття і один варіант нежорсткого покриття, які їм задаються.

Оскільки конструювання і розрахунок покриттів як етапи проектування – взаємозалежні, то їх слід виконувати одночасно: спочатку ту частину етапу конструювання, яка необхідна для розрахунку за граничним станом, а потім сам розрахунок, після чого конструювання покриттів завершують (наприклад, в монолітних жорстких покриттях призначають відстані між деформаційними швами, вибирають конструкції швів, розробляють армування плит і т. ін.). У випадку, коли розрахунок дає незадовільні результати, в заздалегідь призначену конструкцію покриття вносять корективи і розрахунок повторюють (якщо необхідно, це роблять декілька разів до одержання потрібного результату). Враховуючи зазначену особливість перших двох етапів проектування, на практиці терміном “розрахунок покриття” часто називають як сам розрахунок, так і зв’язану з ним частину конструювання покриття.

Користування посібником передбачає наявність у студента чинного нормативного документа з проектування аеродромних покриттів [1] (розяснення до його положень даються лише у необхідних випадках).

Приступаючи до виконання курсового проекту, слід з’ясувати вихідні дані (подані в загальних методичних вказівках). Далі потрібно опрацювати навчальні матеріали відповідно до завдання на ку-

рсовий проект: лекції і практичні заняття за програмою дисципліни “Аеродромні покриття” [2, §§12.3, 13.2, 14.1-15.3, 16.2, 17.2, 17.4 і 17.5], а також ознайомитися з положеннями [1, гл. 5]. Після вивчення зазначених матеріалів можна приступати до виконання розділів пояснювальної записки з розрахунку та конструктування варіантів жорсткого і нежорсткого покріттів, використовуючи приклади розрахунку різних видів аеродромних покріттів, які наведено у даних методичних рекомендаціях. Пояснення тих чи інших особливостей розрахункової методики в одному з прикладів розрахунку покріття в наступних прикладах не повторюються. Іноді при певних вихідних даних можуть стосуватися і попередніх прикладів розрахунку. Тому такі пояснення перед початком розрахунку свого варіанта покріття доцільно уважно ознайомитися з усіма без винятку прикладами розрахунків аеродромних покріттів, наведених в посібнику.

Розробку креслення “Конструкція жорсткого аеродромного покріття” необхідно розпочинати з опрацювання його загальної компоновки. При цьому слід дотримуватися рівномірності і необхідної щільноти заповнення листа креслення графічними матеріалами.

План розкладки плит покріття (масштаб 1:500) являє собою схему трасування поздовжніх та поперечних деформаційних швів на покріттях кінцевої ділянки ТЗПС і примикаючої до неї ділянки сполучної РД з вузлом спряження, які діляться швами на окремі плити. Ширина ТЗПС і РД та радіус вузла спряження по внутрішньому краю покріття слід приймати залежно від заданого класу аеродрому відповідно до положень [1, гл.2].

Відстані між швами на ТЗПС і РД призначаються з урахуванням вимог [1, п. 5.27-5.30] та прийнятої ширини захвату бетонокладальних машин (студенту надано право вибору машин на свій розсуд, залежно від ширини ТЗПС і РД, із шириною захвату 7,5 і 7м та половинного розміру відповідно 3,75 і 3,5 м). У вузлі спряження покріття необхідно ділити швами на квадратні плити з довжиною сторони 5 або 7,5 м залежно від виду і товщини покріття з урахуванням суміщення напряму швів з поперечними швами на РД. На периферійних ділянках вузла плити можуть бути неправильної (непрямокутної) конфігурації з відсутніми гострими кутами.

У процесі складання плану розкладки плит при виборі конструктивних рішень швів слід дотримуватися таких рекомендацій. Поздовжні технологічні шви на ТЗПС і РД потрібно виконувати у вигляді шпунтових стикових швів стискання (якщо товщина плит покріття більша ніж 24 см) або наскрізних швів стискання з крайовим армуванням плит (якщо товщина плит покріття 24 см і менше). Поперечні шви слід виконувати у вигляді несправжніх швів стискання зі штирями. У вузлі спряження, як і у випадку виконання технологічних швів на ТЗПС і РД, залежно від товщини покріття слід приймати стикові шви шпунтові або наскрізні з крайовим армуванням плит. Для одношарових покріттів завтовшки 24 см і менше, які споруджуються на піщаній штучній основі, у вузлі спряження замість наскрізних швів з крайовим армуванням плит доцільно влаштовувати наскрізні шви (розширення) зі штирями. Вузол спряження відділяється від ТЗПС і РД, як і сама РД від ТЗПС, наскрізним швом розширення зі крайовим армуванням плит. Плани розкладки плит верхнього і нижнього шарів двошарових покріттів суміщаються на одній схемі (план нижнього шару ТЗПС і РД показують в місцях з умовно видаленим верхнім шаром).

На плані розкладки плит показують прикінцеву смугу гальмування (ПКСГ), яка примикає до торця ТЗПС, а також укріплені ґрунтові узбочини РД і вимостки ТЗПС [1, п. 2.7, 2.8, 5.22 і 5.23]. Рекомендована ширина вимосток складає 0,5-1 м, а у випадках спорудження під ними траншей для закромочних дрен – 1,5 м. Для наочності показу на кресленні укріплені ґрунтові ділянки і вимостки дозволяється трохи затемнювати.

На плані розкладки плит необхідно показувати розміри, які відносяться до твердих аеродромних покріттів, укріплених ґрунтових ділянок і вимосток, а також до трасування швів.

Умовні позначення швів наносять поряд з планом розкладки плит. Основні з них такі: несправжній шов стискання зі штирями – тонка штрихова лінія; шпунтовий шов стискання – дві близько розташовані паралельні тонкі лінії (суцільна і штрихова); наскрізний шов розширення зі крайовим армуванням плит – потовщена суцільна лінія; наскрізний шов розширення зі штирями – потовщена штрихова лінія.

Поперечні розрізи покріттів ЗПС і РД (горизонтальний масштаб – відповідно 1:200 і 1:100; вертикальний – 1:50) роблять на

всю ширину, включаючи вимостки і укріплені узбочини. На розрізах повинні бути показані всі конструктивні шари покриттів і штучних основ з умовними позначеннями застосованих матеріалів і підстильного ґрунту. Показують також закромочні дрени (якщо їх потрібно влаштовувати). Ставлять необхідні розміри; показують напрями і числові значення поперечних ухилів; роблять пояснівальні написи, які розкривають пошаровий склад покриття, штучної та ґрунтової основи, а також вимосток і укріплених узбочин. В написі наводять найменування матеріалу конструктивного шару, його основні технічні характеристики (якщо необхідно) і проектну товщину шару. Наприклад, записують: “Бетон (B_{th} , 4,0; В30) – 280”, “Два шари пергаміну”, “Асфальтобетон дрібнозернистий (суміш марки I, типу А) – 50”, “Супісок ущільнений” тощо.

Аналогічно виконують поздовжній розріз покриття ПКСГ, яке, примикає до торця ТЗПС.

Графічний матеріал з конструювання армобетонної плити, повинен включати в себе план розкладки арматурних сіток і установочних каркасів в плиті (масштаб 1:100); поздовжні і поперечні розрізи плити (горизонтальний масштаб – 1:100; вертикальний – 1:20, 1:25); конструкцію сіток (масштаби 1:75, 1:50); конструкцію установочних каркасів і стержнів (масштаби 1:10, 1:5); вузол стику сіток (масштаби 1:10, 1:20); специфікацію арматури (на одну плиту). Вказівки щодо конструювання армобетонних покриттів викладені в нормах [1, п. 5.18] і гідротехнічному [2, с. 288-290].

При розробці вказаного графічного матеріалу необхідно розглянути такі можливі конструктивні варіанти армобетонних покриттів:

а) одношарові покриття товщиною понад 24 см на піщаній, піско- або ґрунтоцементній штучній основі (їхні плити мають однорядне армування); сітки арматури спираються на поперечні установочні каркаси трикутного і U-подібного перетину (каркаси U-подібного перетину встановлюють на торцевих ділянках плит); установочні каркаси закріплюють забиванням в штучну основу спеціальних стрижнів;

б) аналогічні покриття, але завтовшки 24 см і менше – на відміну від попереднього варіанта плити мають додаткове армування на поздовжніх крайових ділянках (на цих ділянках армування дворядне [2, рис. 15.4, шов типу VII (б)]) поперечні установочні кар-

каси трикутного перетину укорочені і розміщуються на середніх ділянках плит;

в) верхній шар двошарових покриттів завтовшки більше 24 см – на відміну від першого варіанта (п. “а”) поперечні установочні каркаси трикутного перетину замінюють на “ \wedge/\wedge ”-подібні стрижні, які приварюються до арматурних сіток; установочні каркаси U-подібного перетину прикріплюють до нижнього бетонного шару за допомогою кутників і пристрілювання до бетону дюбелем;

г) верхній шар двошарових покриттів товщиною 24 см і менше (поєднуються особливості другого і третього варіантів).

Конструювання плити заданого варіанта армобетонного покриття, включаючи виконання графічного матеріалу і складання специфікації арматури, необхідно виконувати відповідно до загальноприйнятих правил розробки монолітних заливобетонних конструкцій.

Конструкції застосованих в покритті деформаційних швів потрібно розробляти у масштабі 1:10 [2, рис. 15.5, 15.6, 15.10]. На кресленні показують поперечні розрізи швів та їхній вигляд у плані (для шпунтового шва стискання – лише поперечний розріз) з необхідними розмірами і позначенням усіх конструктивних елементів цифровими позиціями. Розшифровка позицій подається в експлікації “Конструктивні елементи швів”.

Всі розміри на кресленні ставляться в міліметрах.

Розглянуті графічні матеріали повинні бути озаглавлені зверху або позначені (для розрізів, вузлів) з написом масштабів побудови. Називаються також конструкції деформаційних швів.

На кресленні, крім різних коротких написів, потрібно робити ще примітки, які пояснюють або доповнюють графічний матеріал. В них, зокрема, необхідно давати інформацію про ширину захвату бетоноукладальних машин, особливості бетонування вузлів спряження, а також вимоги до виготовлення арматурних сіток, з'єднання сіток внахлис т без зварювання, закріплення установочних каркасів на бетоні нижнього шару двошарових покриттів тощо.

Зразки виконання графічних матеріалів з конструювання аеродромних покриттів показані на стенді (на кафедрі реконструкції аеропортів та автошляхів) як наочний матеріал з курсового і дипломного проектування.

Вимоги до оформлення матеріалів курсового проекту

Текстова частина і розрахунки пояснювальної записки до курсового проекту повинні бути написані або набрани використовуючи аркуш паперу формату А4 (210 x 297 мм) з полями зліва – 35 мм, справа – 10 мм і зверху та знизу по 20 мм. Сторінки і рисунки пояснювальної записки необхідно пронумерувати.

Текст пояснювальної записки, хід розрахунків, обгрунутування конструктивних рішень повинні бути лаконічними, чіткими. Описи з літературних джерел в записці не слід наводити, обмежуючись лише посиланнями на них у списку використаної літератури. Список літератури складають відповідно до загальноприйнятої форми (див., наприклад, список літератури в кінці посібника).

Записи обчислень повинні містити формули у літерному вигляді з підстановкою в них числових значень розрахункових величин. Розшифровку літерних позначень формул давати не слід. Необхідно лише пояснити, як і чому приймаються під інші значення розрахункових величин і вказати розмірності розрахункових величин та результатів обчислень.

Матеріали, включені в пояснювальну записку, повинні бути викладені в такому порядку: 1) титульний аркуш (дод. 1); 2) завдання на курсовий проект з вихідними даними; 3) текстова частина (два розділи записки); 4) список використаної літератури.

Креслення "Конструкція жорсткого аеродромного покриття" виконують, описуючи її за допомогою ПЕОМ на аркуші паперу (ваштекс) формату А1 (594 x 841 мм). При цьому повинні бути витримані вимоги сучасних стандартів з будівельного креслення. Лист креслення обрамовують прямокутною рамкою, сторони якої повинні відстоюти від верхнього, нижнього і правого країв на 5 мм, а від лівого – на 20 мм. У правому нижньому кутку рамки необхідно залишати місце для основного напису креслення (дод. 2). Над основним написом дають примітки до графічних матеріалів креслення.

Контроль виконання курсового проекту та його захист

Хід виконання курсового проекту контролює його керівник (під час проведення консультацій і на переглядах проекту).

Після закінчення строку виконання розкладається до відома студентів. Незважа на захист у встановлений термін з неповажних причин розглядається як невиконання проекту.

За курсовий проект ставиться диференційована оцінка, яка враховує: правильність виконання розрахунків і обґрунтувань конструктивних рішень покриттів, якість оформлення графічного матеріалу і пояснювальної записки; повноту і правильність відповідей студента на заданійому на захисті питання; додержання календарного графіка виконання етапів проекту та його захисту.

ПРИКЛАДИ РОЗРАХУНКУ АЕРОДРОМНИХ ПОКРИТІВ

Приклад 1. Розрахунок одношарового бетонного покриття на пішаній штучній основі.

Вихідні дані

Клас аеродрому – В. Типи літаків, які будуть експлуатуватися на аеродромі: Як-42, Іл-114, Ан-24. Розрахункові характеристики наведені в дод. 3.

Літак Як-42: нормативне навантаження на основну опору $F_n = 260,5 \text{ кН}$; число коліс на основній опорі $n_k = 4$; відстань між центрами відбитків коліс основної опори $a_T = 0,62 \text{ м}$, $\epsilon_T = 0,98 \text{ м}$; число осей на основній опорі $n_a = 2$; внутрішній тиск повітря в pnevmatikaх коліс основної опори $p_a = 0,88 \text{ МПа}$.

Літак Іл-14: $F_n = 106,0 \text{ кН}$; $n_k = 2$; $a_T = 0,6 \text{ м}$, $\epsilon_T = 0 \text{ м}$; $n_a = 1$; $p_a = 0,588 \text{ МПа}$.

Середньорічне число зльотів літаків (зл/р): для Як-42 $N_f=2000$ зл/р; для Іл-114 $N_z=5000$ зл/р; для Ан-24 $N_b=6000$ зл/р.

Розташування району будівництва – III дорожньо-кліматична зона (в її північній частині), на північ від 50° північної широти.

Тип гідрогеологічних умов – 2. Ґрунт природної основи покриття – суглинок природного залягання (з коефіцієнтом пористості $e = 0,57$). Місцеві будівельні матеріали – середньозернистий пісок.

Розрахунок

Як приклад виконаємо розрахунок покриття на ділянках груп А [1, п. 5.48].

Розрахунок потрібно починати з визначення навантажувальних характеристик для літака з найбільшим нормативним навантаженням на основну опору F_n і який можливо є розрахунковим для покриття (в даному прикладі – це літак Як-42, для якого $F_n=260,5$ кН).

1. Згідно з вимогами [1, п. 5.52] визначаємо розрахункове навантаження F_d на колесо основної опори літака і радіус круга R_s , рівновеликого площині відбитка пневматика колеса на покритті:

$$F_d = \frac{F_n}{n_k} k_d \gamma_f = \frac{260,5}{4} \cdot 1,27 \cdot 1,0 = 78,2 \text{ кН};$$

де $k_d = 1,2$; $\gamma_f = 1,0$ (приймаємо згідно з вимогами [1, табл. 33] для ділянок покриттів групи А при $p_a = 0,88 \text{ МПа} < 1,0 \text{ МПа}$)

$$R_s = \sqrt{\frac{F_d}{\pi p_a}} = \sqrt{\frac{78,2 \cdot 10^3}{3,14 \cdot 0,88 \cdot 10^6}} = 0,17 \text{ м},$$

2. Враховуючи вказівки [1, п.п. 5.3-5.6, 5.15, 5.16 і 5.24-5.26,] приймаємо конструкцію одношарового бетонного покриття (рис. 1) і приймаємо проектні класи бетону за міцністю на розтяг при згинанні В₁₄₀ 4,0 і на стискання В30 [1, табл. 20]. Розрахункові характеристики бетону беремо з [1, табл. 1 дод. 9]: розрахунковий опір розтягу при згинанні $R_{btb} = 3,43 \text{ МПа}$; модуль пружності важкого бетону $E_b = 3,24 \cdot 10^4 \text{ МПа}$. Передбачаємо влаштування дренувального шару із середньозернистого піску завтовшки 25 см [1, табл. 23]

3. Згідно з нормами [1, п. 4.4] визначаємо глибину стискуваної товщі ґрунтової основи H_c . Залежно від навантаження на одне колесо основної опори $F_d = 78,2 \text{ кН}$ і числа коліс на опорі $n_k = 4$ [1, табл. 15] приймаємо $H_c = 5 \text{ м}$.

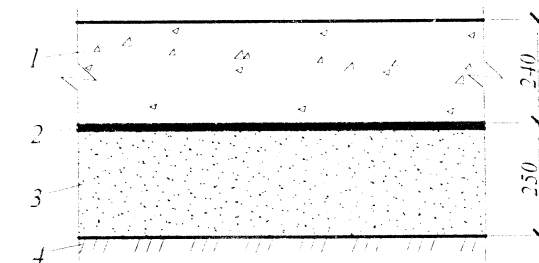


Рис. 1. Конструкція одношарового бетонного покриття:
1 – бетон проектних класів В₁₄₀ 4,0 і В30; 2 – два шари
пергаміну; 3 – середньозернистий пісок; 4 – суглинок

4. Враховуючи наявність шару штучної основи з насипного середньозернистого піску, який підстеляється масивом суглинку, за вказівками [1, п. 2 дод. 5] визначаємо еквівалентний коефіцієнт постелі K_{se} у межах стискуваної товщі ґрунтової основи. При цьому приймаємо: $t_1 = 25 \text{ см}$ (товщина шару піску); $t_2 = 0$.

Спочатку за даними [1, табл. 6 дод. 9] визначаємо коефіцієнт постелі насипного середньозернистого піску $K_{s1} = 1,2 \cdot 10^2 \text{ МН}/\text{м}^3$. Потім з норм [1, табл. дод. 4] з урахуванням другого типу гідрогеологічних умов, коефіцієнта пористості ґрунту $e = 0,57$ та розташування району будівництва у III дорожньо-кліматичній зоні (в межах України) приймаємо для суглинку в природному стані коефіцієнт постелі $K_{s3} = 50 \text{ МН}/\text{м}^3$.

За формулою [1, формула 1 дод. 5] обчислюємо значення еквівалентного коефіцієнта постелі:

$$K_{se} = \frac{K_{s1} + K_{s3} \cdot a_3}{1 + a_3} = \frac{120 + 50 \cdot 6,94}{1 + 6,94} = 58,8 \text{ МН}/\text{м}^3,$$

$$\text{де } a_3 = \frac{0,5(1,6D_r - t_1)^2}{t_1(1,6D_r - 0,5t_1)} = \frac{0,5(1,6 \cdot 2,40 - 0,25)^2}{0,25(1,6 \cdot 2,40 - 0,5 \cdot 0,25)} = 6,96.$$

В наведених обчисленнях умовний діаметр передачі навантаження на основу D_r приймався рівним 2,4 м, оскільки літак Як-42 відповідає IV категорії нормативного навантаження (див. примітку до таблиці дод. 3 посібника).

5. За формулою [1, формула 12] знаходимо жорсткість плити покриття на одиницю ширини розрахункового розрізу (1 м):

$$B = 0,085 E_b t^3 = 0,085 \cdot 3,24 \cdot 10^4 \cdot 10^6 \cdot 0,24^3 = 3,81 \cdot 10^7 \text{ Н} \cdot \text{м}^2 / \text{м} = \\ = 3,81 \cdot 10^4 \text{ кН} \cdot \text{м}^2 / \text{м}.$$



Рис. 2. Розрахункова схема основної опори літака Як-42

$$m_{c,\max}(x) = m_1 + \sum_{i=2}^{n_k} m_{xi} = F_d f(\alpha) + \sum_{i=2}^{n_k} \bar{m}_{xi} \cdot F_d = \\ 78,2 \cdot 0,2120 + 0,0231 \cdot 78,2 + 0,0227 \cdot 78,2 + 0,0483 \cdot 78,2 = \\ 16,58 + 1,81 + 1,78 + 3,78 = 23,95 \text{ кН} \cdot \text{м}/\text{м};$$

$$m_{c,\max}(y) = m_1 + \sum_{i=2}^{n_k} m_{yi} = F_d f(\alpha) + \sum_{i=2}^{n_k} \bar{m}_{yi} \cdot F_d = \\ 78,2 \cdot 0,2120 + 0,0836 \cdot 78,2 + 0,0014 \cdot 78,2 - 0,0051 \cdot 78,2 = \\ - 16,58 + 6,54 + 0,11 - 0,40 = 22,83 \text{ кН} \cdot \text{м}/\text{м},$$

де $f(a)$ приймається з [1, табл. 1 дод. 10] для $a = \frac{R_e}{l}$; \bar{m}_{xi} і \bar{m}_{yi} береуться для кожного i -го починаючи з другого колеса основної опори з

6. Згідно з нормами [1, п. 5.52] визначаємо пружну характеристику плити

$$l = 4\sqrt{\frac{B}{K_{se}}} = 4\sqrt{\frac{3,81 \cdot 10^7}{58,8 \cdot 10^6}} = 0,90 \text{ м.}$$

7. Згідно з нормами [1, п. 5.52] знаходимо максимальні моменти в розрахункових перерізах плити, перпендикулярних осям X і Y, при центральному її навантаженні (коли центр відбитка першого колеса збігається з перстином розрахункових розрізів, як це показано на рис. 2):

норм [1, табл. 2 дод. 10] залежно від значень координат $\xi_1 = \frac{y_i}{l}$ і

$$\eta_i = \frac{x_i}{l}$$
 (числові значення y_i і x_i показані на рис. 2).

Результати визначення $a, f(a), \xi_i, \eta_i, \bar{m}_{xi}$ і \bar{m}_{yi} наведено в табл. 5.

Таблиця 5

Проміжні результати розрахунку покриття

Колесо	$a = \frac{R_e}{l}$	$f(a)$	$\xi_1 = \frac{y_i}{l}$	$\eta_i = \frac{x_i}{l}$	\bar{m}_{xi}	\bar{m}_{yi}
Перше	0,19	0,2120	-	-	-	-
Друге	-	-	0,69	0	0,0231	0,0836
Третє	-	-	0,69	1,09	0,0227	0,0014
Четверте	-	-	0	1,09	0,0483	-0,0051

Примітка. Числові значення обчислень рекомендується подавати в табличній формі, коли число коліс $n_k \geq 4$.

Зауважимо, що згідно із вказівкою [1, п. 5.52] при визначенні $m_{c,\max}(x)$ сума моментів m_{yx} і m_{y4} від ряду коліс, які включають в себе третє і четверте колеса, не враховувалася як така, що давала від'ємне значення ($0,11 - 0,40 = -0,29 \text{ кН} \cdot \text{м}/\text{м}$).

8. Приймаємо $m_{c,\max}$ як більше з одержаних значень

$m_{c,\max}(x)$ і $m_{c,\max}(y)$:

$$m_{c,\max} = m_{c,\max}(x) = 23,95 \text{ кН} \cdot \text{м}/\text{м}.$$

Аналогічним чином (як це було зроблено для літака Як-42) визначаємо $m_{c,\max}$ для літаків Іл-114 і АН-24:

$$\text{для Іл-114 } m_{c,\max} = 18,38 \text{ кН} \cdot \text{м}/\text{м};$$

$$\text{для АН-24 } m_{c,\max} = 17,51 \text{ кН} \cdot \text{м}/\text{м}.$$

Одержані результати обчислень свідчать про те, що розрахунковим типом літака для даного покриття, як і передбачалося, є літак Як-42, оскільки він дає найбільше значення

$$m_{c,\max}(23,95 > 18,38 > 17,51 \text{ кН} \cdot \text{м}/\text{м}).$$

Примітка. В пояснювальній записці до курсового проекту обчислення значень $m_{c,\max}$ для всіх заданих типів літаків потрібно описувати повністю (як це було показано для літака Як-42).

9. Виходячи з $m_{c,\max} = 23,95 \text{ кН}\cdot\text{м}/\text{м}$ для розрахункового типу літака, визначаємо m_d за формулою [1, формула 11] при $K_{x(0)} = 1,0$ (оскільки жорсткість плит у напрямах X і Y однакова):

$$m_d = m_{c,\max} k \cdot k_N \cdot k_{x(y)} = 23,95 \cdot 1,2 \cdot 1,1 \cdot 1,0 = 31,61 \text{ кН}\cdot\text{м}/\text{м},$$

де $k = 1,2$ – приймається з урахуванням того, що покриття бетонне і передбачається застосування в плитах стикових з'єднань або краївого армування [1, п. 5.52]; $k_N = 1,1$ (за наявності на ділянках покриття групи А піщаної штучної основи, не обробленої в'яжучим).

10. За формулою [1, формула 14] визначаємо граничний згинальний момент на одиницю ширини розрахункового перерізу плити (1 м):

$$m_u = \gamma_c R_{bth} \frac{t^2}{6} k_u = 0,8 \cdot 3,43 \cdot 10^6 \cdot \frac{0,24^2}{6} \cdot 1,21 = 31,87 \cdot 10^3 \text{ кН}\cdot\text{м}/\text{м} = 31,87 \text{ кН}\cdot\text{м},$$

де $\gamma_c = 0,8$ – приймається з норм [1, табл. 31] для бетонного покриття на ділянках групи А при розташуванні аеродрому на північ від 50° північної широти; $k_u = 1,21$ – визначається з норм [1, графіка 3 дод. 10] залежно від розрахункового числа прикладань навантаження при з'єднаннях літаків $U_d = 0,8 \cdot 10^5$.

Зазначене розрахункове число прикладань навантаження на покриття U_d обчислюємо в такій послідовності. Визначаємо число прикладань навантаження U_i від основної опори кожного типу літака за проектний строк служби покриття T , який у відповідності з нормами [1, п. 5.54] для жорстких покріттів повинен прийматися рівним 20 рокам:

для літака Як-42

$$U_1 = n_{a1} N_1 = n_{a1} N_1 (\text{рік}) T = 2 \cdot 2000 \cdot 20 = 0,8 \cdot 10^5;$$

для літака Іл-114

$$U_2 = n_{a2} N_2 = n_{a2} N_2 (\text{рік}) T = 1 \cdot 5000 \cdot 20 = 1,0 \cdot 10^5;$$

для літака Ан-24

$$U_3 = n_{a3} N_3 = n_{a3} N_3 (\text{рік}) T = 1 \cdot 6000 \cdot 20 = 1,2 \cdot 10^5.$$

Залежно від відношення центральних моментів m_{ci} і m_{cd} від навантажень відповідно [1, с. 10] і розрахункового типу літаків, а також від прийнятих з норм [1, графік 4 дод. 10] U_i , значень обчислюємо еквівалентне число прикладань навантаження від опори i -го типу літака на покриття U_{ei} , приведене до прикладань навантаження від опори розрахункового літака:

для розрахункового типу літака Як-42 з урахуванням

$$m_{cd} = m_{ci} = m_{c,\max} = 23,95 \text{ кН}\cdot\text{м}/\text{м} \text{ і } m_{ci} / m_{cd} = 1,0$$

$$U_{e1} = U_1 = 0,8 \cdot 10^5;$$

для другого ($i=2$) типу літака Іл-114 з урахуванням $m_{c2} = m_{c,\max}$ (Іл-114) = 18,38 $\text{kN}\cdot\text{m}/\text{m}$, $m_{c2} / m_{cd} = 18,38 / 23,95 = 0,77$ і $U_2 = 1,0 \cdot 10^5$

$$U_{e2} = 900;$$

для третього ($i=3$) типу літака Ан-24 з урахуванням $m_{c3} = m_{c,\max}$ (Ан-24) = 17,51 $\text{kN}\cdot\text{m}/\text{m}$, $m_{c3} / m_{cd} = 17,51 / 23,95 = 0,73$ і $U_3 = 1,2 \cdot 10^5$

$$U_{e3} = 900.$$

Тоді

$$U_d = \sum_{i=1}^{n_j} U_{ei} = \sum_{i=1}^3 U_{ei} = U_{e1} + U_{e2} + U_{e3} = 0,8 \cdot 10^5 + 900 + 900 \approx 0,8 \cdot 10^5,$$

де $n_j = 3$ означає число типів літаків, які враховуються, а i – порядковий номер типу літака.

11. За формулою [1, формула 10] перевіряємо міцність плити:

$$m_d = 31,61 \text{ кН}\cdot\text{м} < m_u = 31,87 \text{ кН}\cdot\text{м}/\text{м} (\text{на } 0,8 \%).$$

Прийнята товщина плити ($t = 0,24 \text{ м}$) відповідає умовам міцності.

Примітка. В розрахунках жорстких покріттів розбіжність між числовими значеннями m_d і m_u може допускатися у межах 5 % (розбіжність

обчислюється відносно значення m_d). При більшій розбіжності у заздалегідь прийняті конструкцію покриття потрібно внести корективи і виконати повторний розрахунок.

12. Призначаємо розміри плит покриття в плані і вибираємо конструкції деформаційних швів.

Згідно з нормами [1, п. 5.27 і 5.28] відстань між поздовжніми технологічними швами стискання приймаємо 7 м (при ширині ТЗПС аеродрому класу В, що дорівнює 42 м, передбачається застосування бетоноукладальних машин з шириною захвату 7 м). Оскільки товщина плит покриття $t = 24$ см, ці шви потрібно виконувати [2, рис. 15.4] за типом VII "а" (наскрізні шви стискання з армуванням країв плит). Крайові ділянки плит (завширшки $0,8t = 0,8 \cdot 24 = 19,2$ см) повинні мати арматуру $5\varnothing 12$ АІІ зверху і знизу [2, рис. 15.6].

У зв'язку з тим, що $t = 24$ см < 30 см, передбачаємо влаштування між поздовжніми технологічними швами додаткового поздовжнього шва стискання – за типом I "б" (несправжній шов стискання зі штирями). Приймаємо штири діаметром 22 мм завдовжки 50 см з кроком установки 35 см [2, табл. 15.5].

Відстань між поперечними швами стискання приймаємо 5 м (з урахуванням того, що $t = 24$ см < 30 см). Ці шви слід влаштовувати за згаданим вище типом I "б".

Таким чином, плити в плані мають розміри 3,5 x 5 м.

Приклад 2. Розрахунок одношарового армобетонного покриття на ґрунтоцементній штучній основі*

Вихідні дані

Клас аеродрому – Б. Типи літаків, які будуть експлуатуватися на аеродромі: Ту-154Б, F28.Мк2000НТР, Ан-74. Розрахункові характеристики літаків (дод. 3):

* Цей та наступні приклади розрахунку покриттів мають скорочену форму запису, включаючи вихідні дані і хід обчислень. При оформленні розрахунків в курсовому проекті їх слід записувати в розгорнутому вигляді (див. приклад 1).

Літак Ту-154Б: $F_n = 433,6$ кН, $n_k = 6$; $a_T = 0,62$ м; $c_{T1} = 0,98$ м; $c_{T2} = 1,03$ м; $n_a = 3$; $p_a = 0,932$ МПа.

Літак F28.Мк2000НТР: $F_n = 135,8$ кН; $n_k = 2$; $a_T = 0,55$ м; $c_T = 0$ м; $n_a = 1$; $p_a = 0,69$ МПа.

Літак Ан-74: $F_n = 157,0$ кН; $n_k = 2$; $a_T = 0$ м; $c_T = 1,3$ м; $n_a = 2$; $p_a = 0,65$ МПа.

Середньорічна кількість зльотів літаків за типами: для Ту-154Б $N_1 = 4000$ зл/р; для F28.Мк2000НТР $N_2 = 3000$ зл/р; для Ан-74 $N_3 = 7000$ зл/р.

Дорожньо-кліматична II зона, на північ від 50° північної широти. Тип гідрогеологічних умов – I. Ґрунт природної основи покриття – супісок природного залягання ($e = 0,83$). Річна амплітуда середньодобових температур складає 43 °C.

Розрахунок

Виконуємо розрахунок покриття на ділянках групи А [1, п. 5.48].

1. Analogічно п. 1 прикладу 1 для літака Ту-154Б, який має найбільше нормативне навантаження на основну опору

$F_n = 433,6$ кН, знаходимо:

$$F_d = \frac{433,6}{6} \cdot 1,2 \cdot 1,0 = 86,7 \text{ кН};$$

$$R_c = \sqrt{\frac{86,7 \cdot 10^3}{3,14 \cdot 0,932 \cdot 10^6}} = 0,17 \text{ м}.$$

2. Як і п.2 прикладу 1 призначаємо конструкцію покриття (рис. 3). Передбачаємо використання бетону проектних класів

B_{40} і $B30$ з розрахунковими характеристиками $R_{bt} = 3,43$ МПа; $E_B = 3,24 \cdot 10^4$ МПа і ґрунтоцементу класу за міцністю на стискання 60, одержаного способом змішування на місці, для якого з норм [1, табл. 4 дод. 9] приймаємо $E-22 \cdot 10^2$ МПа.

3. За даними норм [1, дод. 4] для супіску природного залягання з коефіцієнтом пористості $e = 0,83$ при першому типі гідрогеологічних умов приймаємо (зі зниженням на 35%):

$$K_s = 60 \cdot 0,65 = 39 \text{ МН/м}^3.$$

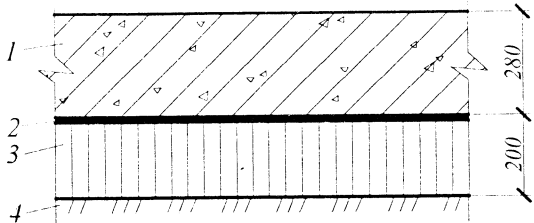


Рис. 3. Конструкція одношарового армобетонного покриття:
1 – армобетон (з бетону проскінних класів В₁₀Б4,0 і В30);
2 – два шари пергаміну; 3 – ґрунтоцемент; 4 – супісок

4. За вказівкою норм [1, п. 1 дод. 11] з використанням формул [1, формула 12] обчислюємо сумарну жорсткість плити покриття і ґрунтоцементної штучної основи:

$$B + B_f = 6,05 \cdot 10^4 + 0,15 \cdot 10^4 = 6,20 \cdot 10^4 \text{ кН} \cdot \text{м}^2/\text{м},$$

де $B = 0,085 \cdot 3,24 \cdot 10^4 \cdot 10^6 \cdot 0,28^3 = 6,05 \cdot 10^7 \text{ Н} \cdot \text{м}^2/\text{м} = 6,05 \cdot 10^4 \text{ кН} \cdot \text{м}^2/\text{м}$;
 $B_f = 0,085 \cdot 22 \cdot 10^2 \cdot 10^6 \cdot 0,20^3 = 0,15 \cdot 10^7 \text{ Н} \cdot \text{м}^2/\text{м} = 0,15 \cdot 10^4 \text{ кН} \cdot \text{м}^2/\text{м}$.

5. Пружна характеристика плити

$$l = \sqrt[4]{\frac{6,2 \cdot 10^7}{39 \cdot 10^6}} = 1,12 \text{ м}.$$

6. З урахуванням геометрических характеристик основної опори літака Ту-154Б (рис. 4) обчислюємо значення $a, f(a), \xi_i, \eta_i, \bar{m}_{xi}$ і \bar{m}_{yi} (табл. 6).

Таблиця 6

Проміжні результати розрахунку покриття

Колесо	$a = \frac{R_e}{l}$	$f(a)$	$\xi = \frac{y_i}{l}$	$\eta_i = \frac{ x_i }{l}$	\bar{m}_{xi}	\bar{m}_{yi}
Перше	0,17	0,2223	—	—	—	—
Друге	—	—	0	0,88	0,0639	0,0068
Третє	—	—	0,55	0,88	0,0363	0,0124
Четверте	—	—	0,55	0	0,0410	0,1028
П'яте	—	—	0,55	0,92	0,0351	0,0096
Шосте	—	—	0	0,92	0,0605	0,0045

7. Визначаємо максимальні згинальні моменти при центральному навантаженні плити:

$$m_{c,\max}(x) = 86,7 \cdot 0,2223 + 0,0639 \cdot 86,7 + 0,0363 \cdot 86,7 + 0,0410 \cdot 86,7 + 0,0351 \cdot 86,7 + 0,0605 \cdot 86,7 = 39,80 \text{ кН} \cdot \text{м}/\text{м};$$

$$m_{c,\max}(y) = 86,7 \cdot 0,2223 + 0,0068 \cdot 86,7 + 0,0124 \cdot 86,7 + 0,1028 \cdot 86,7 + 0,0096 \cdot 86,7 + 0,0045 \cdot 86,7 = 31,07 \text{ кН} \cdot \text{м}/\text{м}.$$

8. Приймаємо $m_{c,\max}$ як більше із одержаних значень

$$m_{c,\max}(x) \text{ і } m_{c,\max}(y);$$

$$m_{c,\max} = m_{c,\max}(x) = 39,80 \text{ кН} \cdot \text{м}/\text{м}.$$

Далі аналогічним чином визначаємо $m_{c,\max}$ для літаків F28.Mк2000НТР і АН-74: відповідно

$$m_{c,\max} = 27,31 \text{ кН} \cdot \text{м}/\text{м} \text{ і } m_{c,\max} = 24,10 \text{ кН} \cdot \text{м}/\text{м}.$$

Переконуємося, що розрахунковим типом літака для даного покриття, як і передбачалося, є літак Ту-154Б, оскільки він дає найбільше значення $m_{c,\max}$ ($39,80 > 27,31 > 24,10 \text{ кН} \cdot \text{м}/\text{м}$).

9. Згідно з нормами [1, п. 1 дод. 11] визнача-

$$\text{ємо параметр } \gamma_s: \gamma_s = \frac{B}{B_f} = \frac{6,05 \cdot 10^4}{0,15 \cdot 10^4} = 40,3.$$



Рис. 4. Розрахункова схема основної опори літака Ту-154Б

10. За даними норм [1, графіка 1 дод. 11] при $\gamma_s = 40,3$ знаходимо значення $\theta_o = 0,26$. Після цього обчислюємо параметр ρ :

$$\rho = 1 - 0,167 \cdot \theta_o = 1 - 0,167 \cdot 0,26 = 0,957.$$

11. За формулою [1, формула 1 дод. 11] визначаємо розрахункове значення моменту m_d для одношарового покриття з сумарною жорсткістю $B + B_f = 6,20 \cdot 10^4 \text{ кН} \cdot \text{м}/\text{м}$, прийнявши $m_{c,\max} = 39,80 \text{ кН} \cdot \text{м}/\text{м}$ і $k = 1,2$:

$$m_d = \frac{B}{B + B_f} m_{c,\max} k = \frac{6,05 \cdot 10^4}{6,2 \cdot 10^4} \cdot 39,8 \cdot 1,2 \cdot 0,957 = 44,60 \text{ кН} \cdot \text{м}/\text{м}.$$

12. За формулою [1, формула 14] обчислюємо граничний згинальний момент для плити

$$m_u = 0,9 \cdot 3,43 \cdot 10^6 \cdot \frac{0,23^3}{6} \cdot 1,14 = 45,98 \text{ кН} \cdot \text{м}/\text{м}.$$

Використаний тут коефіцієнт $k_u = 1,14$ визначено за методикою, яку викладено у прикладі 1. Проміжні результати обчислень наведено в табл. 7.

Таблиця 7

Обчислення розрахункового числа прикладань навантаження літака Ту-154Б

Розрахункові величини	Тип літака		
	Tу-154Б	F28.Мк2000НТР	Ан-74
Число прикладань навантаження від опори літака за проектний строк служби покриття (20 років)	$2,4 \cdot 10^5$	$0,6 \cdot 10^5$	$2,8 \cdot 10^5$
Центральні моменти від навантажень літаків m_{cd} і m_{ci} , кН· м/м	39,80 (m_{cd} · m_{ci})	27,31 (m_{c2})	24,10 (m_{c3})
Відношення m_{ci}/m_{cd}	1,0	0,69	0,61
Еквівалентне число прикладань навантаження від опори i -го типу літака, приведене до прикладання навантаження від опори розрахункового типу літака	$2,4 \cdot 10^5$	20	10
Розрахункове число прикладань навантаження U_d	$2,4 \cdot 10^5$		

13. Перевірємо міцність покриття:

$$m_d = 44,60 \text{ кН} \cdot \text{м}/\text{м} < m_u = 45,98 \text{ кН} \cdot \text{м}/\text{м} (\text{на } 3,1 \%).$$

Прийнята конструкція покриття відповідає умовам міцності.

14. Згідно з нормами [1, п.п. 5.27 і 5.28] відстань між поздовжніми технологічними швами стискання приймаємо 7,5 м (при ширині ТЗПС аеродрому класу В, що дорівнює 45 м, передбачаємо застосування бетоноукладальних машин із шириною захвату 7,5 м). Ці шви слід влаштовувати шпунтовими [2, рис. 15.4, шов за типом II].

З урахуванням річної амплітуди середньодобових температур 43°C відстань між поперечними швами стискання приймаємо 15 м згідно з нормами [1, п. 5.28]. Конструкція швів – несправжні шви стискання зі штирями [2, рис 15.4, шов за типом II “б”]. Приймаємо

штирі діаметром 22 мм завдовжки 50 см з кроком установки 35 см [2, табл. 15.5].

Таким чином, плити в плані мають розміри 7,5 x 15 м.

15. Відповідно до норм [1, п.п. 5.7 і 5.8] призначаємо армування плит. З урахуванням товщини плити $t = 28$ см приймаємо поздовжню арматуру діаметром 12 мм класу А-II (площа перетину одного стрижня $A_{sl} = 1,13 \text{ см}^2$) з кроком $a_s = 35 \text{ см}$. Перевірємо відсоток поздовжнього армування плит:

$$\mu_s = \frac{A_{sl}}{b_s t} \cdot 100 = \frac{1,13}{35,0 \cdot 28,0} \cdot 100 = 0,115 \%.$$

Одержане значення знаходитьться у межах 0,10 – 0,15 %, тому прийняті армування в поздовжньому напрямі задовільняє нормативні вимоги. Поперечну арматуру приймаємо такого самого діаметра і класу як і поздовжню з кроком 40 см.

Приклад 3. Розрахунок двошарового бетонного покриття на піщаній штучній основі

Вихідні дані

Клас аеродрому – А. Типи літаків, які будуть експлуатуватися на аеродромі: Іл-62М, В737-200, Ту-134А. Розрахункові характеристики літаків (дод. 3):

Літак Іл-62М: $F_n = 774,6 \text{ кН}$; $n_k = 4$; $a_T = 0,8 \text{ м}$; $b_T = 1,65 \text{ м}$; $n_a = 2$; $p_a = 1,08 \text{ МПа}$.

Літак В737-200: $F_n = 234,9 \text{ кН}$; $n_k = 2$; $a_T = 0,78 \text{ м}$; $b_T = 0 \text{ м}$; $n_a = 1$; $p_a = 1,1 \text{ МПа}$.

Літак Ту-134А: $F_n = 212,9 \text{ кН}$; $n_k = 4$; $a_T = 0,56 \text{ м}$; $b_T = 0,89 \text{ м}$; $n_a = 2$; $p_a = 0,834 \text{ МПа}$.

Середньорічна кількість зльотів літаків за типами: для Іл-62М $N_1 = 1500 \text{ зл/р}$; для В737-200 $N_2 = 5000 \text{ зл/р}$; для Ту-134А $N_3 = 8000 \text{ зл/р}$.

Дорожньо-кліматична зона IV, на північ від 50° північної широти. Тип гідрогеологічних умов – I. Ґрунт природної основи покриття – глина природного залягання ($e = 0,56$).

Місцеві будівельні матеріали – грубозернистий пісок.

Розрахунок

Виконуємо розрахунок покриття на ділянках групи А [1, п. 5.48].

1. За аналогією з п. 1 прикладу 1 для літака Іл-62М, який має найбільше нормативне навантаження на основну опору $F_n = 774,6 \text{ кН}$, знаходимо:

$$F_d = \frac{774,6}{4} \cdot 1,25 \cdot 1,0 = 242,1 \text{ кН};$$

$$R_e = \sqrt{\frac{242,1 \cdot 10^3}{3,14 \cdot 1,08 \cdot 10^6}} = 0,27 \text{ м}.$$

2. Враховуючи вказівки пунктів, передічених в п. 3 прикладу 1, а також норм [1, п.п. 5.20, 5.21, 5.32, 5.33] і примітку до табл. 1, приймаємо конструкцію двошарового бетонного покриття (рис. 5) з суміщеними швами (див. табл. 1 прим. 2) у верхньому і нижньому шарах. Передбачаємо використання для верхнього шару покриття бетону проектних класів $B_{btb}4,0$ і $B30$ (з розрахунковими характеристиками $R_{btb1} = 3,43 \text{ МПа}$, $E_{b1} = 3,24 \cdot 10^4 \text{ МПа}$), для нижнього шару – $B_{btb}2,8$ і $B20$ ($R_{btb2} = 2,26 \text{ МПа}$, $E_{b2} = 2,60 \cdot 10^4 \text{ МПа}$). Штучну основу з грубозернистого піску приймаємо завтовшки 15 см (мінімальна товщина штучної основи з матеріалу, не обробленого в'яжучим, допустима при першому типі гідрогеологічних умов незалежно від виду ґрунту природної основи).

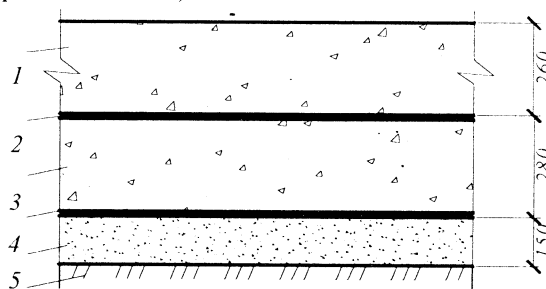


Рис. 5. Конструкція двошарового бетонного покриття:

- 1 – бетон проектних класів $B_{btb}4,0$ і $B30$; 2 – один шар пергаміну; 3 – бетон проектних класів $B_{btb}2,8$ і $B20$;
- 4 – два шари пергаміну; 5 – грубозернистий пісок;
- 6 – глина

3. Згідно з нормами [1, п.4.4] визначаємо глибину стискуваної товщі ґрунтової основи, $H_c = 6 \text{ м}$. В межах цієї товщі ґрунтовая основа складена з глини, для якої з урахуванням вказівок [1, п. 4 примітка дод. 4] знаходимо розрахункове значення K_s :

$$K_s = 80 \cdot 1,2 = 96 \text{ МН}/\text{м}^2.$$

4. За аналогією з викладеним у п. 5 прикладу 1 знаходимо a_3 і K_{sc} :

$$a_3 = \frac{0,5(1,6 \cdot 3,6 - 0,15)^2}{0,15(1,6 \cdot 3,6 - 0,5 \cdot 0,15)} = 18,45;$$

$$K_{sc} = \frac{130 + 96 \cdot 18,45}{1 + 18,45} = 97,7 \text{ МН}/\text{м}^3.$$

5. Визначаємо жорсткості плит верхнього і нижнього шарів покриття:

$$\begin{aligned} B_{sup} &= 0,085 \cdot 3,24 \cdot 10^4 \cdot 10^6 \cdot 0,36^3 = 4,84 \cdot 10^7 \text{ Н} \cdot \text{м}^2/\text{м} = 4,84 \cdot 10^4 \text{ кН} \cdot \text{м}^2/\text{м}; \\ B_{inf} &= 0,085 \cdot 2,60 \cdot 10^4 \cdot 10^6 \cdot 0,28^3 = 4,85 \cdot 10^7 \text{ Н} \cdot \text{м}^2/\text{м} = 4,85 \cdot 10^4 \text{ кН} \cdot \text{м}^2/\text{м}. \end{aligned}$$

Згідно з положеннями [1, п. 5.20] за наявностю в покритті суміщених швів жорсткість плит нижнього шару не повинна перевищувати жорсткість плит верхнього шару більше, ніж у 2 рази:

$$\frac{B_{inf}}{B_{sup}} = \frac{4,85 \cdot 10^4}{4,84 \cdot 10^4} \approx 1 < 2 \text{ (умова виконана).}$$

6. Замінююмо прийняту конструкцію двошарового покриття умовним одношаровим бетонним покриттям з сумарною жорсткістю

$$B = B_{sup} + B_{inf} = 4,84 \cdot 10^4 + 4,85 \cdot 10^4 = 9,69 \cdot 10^4 \text{ кН} \cdot \text{м}^2/\text{м}.$$

7. Пружна характеристика плити умовного одношарового покриття

$$l = \sqrt[4]{\frac{9,69 \cdot 10^7}{97,7 \cdot 10^6}} = 1,00 \text{ м.}$$

8. Враховуючи геометричні характеристики основної опори літака Іл-62М (рис. 6) обчислюємо значення $a, f(a), \xi_i, \eta_i, \bar{m}_{xi}$ і (табл. 8).

Таблиця 8
Проміжні результати розрахунку покриття

Колесо	$a = \frac{R_e}{l}$	$f(a)$	$\xi_i = \frac{y_i}{l}$	$\eta_i = \frac{x_i}{l}$		
Перше	0,27	0,1797	-	-	-	-
Друге	-	-	0,80	0	0,0126	0,0715
Третьє	-	-	0,80	1,65	0,0101	-0,0136
Четверте	-	-	0	1,65	0,0224	-0,0196

9. Визначаємо максимальні згинальні моменти при центральному навантаженні плити умовного одношарового покриття:

$$m_{c,\max}(x) = 242,1 \cdot 0,1797 + 0,0126 \cdot 242,1 + 0,0101 \cdot 242,1 + 0,0224 \cdot 242,1 = 54,42 \text{ кН} \cdot \text{м}/\text{м};$$

$$m_{c,\max}(y) = 242,1 \cdot 0,1797 + 0,0715 \cdot 242,1 = 60,82 \text{ кН} \cdot \text{м}/\text{м}.$$

Відповідно до [1, п. 5.52] при визначенні $m_{c,\max}(y)$ сума моментів $m_{y,3}$ і $m_{y,4}$ від дії третього і четвертого колеса не враховувалася, оскільки мала від'ємне значення (див. п. 7 прикладу 1).

10. Приймаємо $m_{c,\max}$ як більше з одержаних значень $m_{c,\max}(x)$ і $m_{c,\max}(y)$:

$$m_{c,\max} = m_{c,\max}(y) = 60,82 \text{ кН} \cdot \text{м}/\text{м}.$$

Аналогічно визначаємо

$m_{c,\min} = 40,59 \text{ кН} \cdot \text{м}/\text{м}$ і $m_{c,\max} = 23,36 \text{ кН} \cdot \text{м}/\text{м}$ відповідно для літаків B737-200 і Tu-134A. Переконуємося, що розрахунковим типом літака для даного покриття, як і передбачалося, є літак Іл-62М, оскільки він дає най-більше значення

$$m_{c,\max}(60,82 > 40,59 > 23,36 \text{ кН} \cdot \text{м}/\text{м}).$$

Рис. 6. Розрахункова схема основної опори літака Іл-62М

11. За формулами [1, формула 21 і 22] визначаємо розрахункові згинальні моменти в плитах верхнього і нижнього шарів двошарового покриття із суміщеними швами (при $m_{c,\max} = 60,82 \text{ кН} \cdot \text{м}/\text{м}$):

$$m_{d,\sup} = \frac{k'm_{c,\max}}{1 + \frac{B_{\inf}}{B_{\sup}}} = \frac{1,2 \cdot 60,82}{1 + \frac{4,85 \cdot 10^4}{4,84 \cdot 10^4}} = 36,45 \text{ кН} \cdot \text{м}/\text{м};$$

$$m_{d,\inf} = k'm_{c,\max} - m_{d,\sup} = 1,2 \cdot 60,82 - 36,45 = 36,53 \text{ кН} \cdot \text{м}/\text{м},$$

де $k' = 1,2$ – коефіцієнт, який приймається для двошарових покриттів з суміщеними швами при влаштуванні стикових з'єднань у верхньому шарі [1, п. 5.32].

12. За формулою норм [1, формула 14 п. 5.58] обчислюємо значення граничних згинальних моментів для плит верхнього і нижнього шарів покриття:

$$m_{u,\sup} = \gamma_c R_{hub1} \frac{t_1^2}{6} k_u = 0,8 \cdot 3,43 \cdot 10^6 \cdot \frac{0,26^2}{6} \cdot 1,23 = 38,03 \text{ кН} \cdot \text{м}/\text{м};$$

$$m_{u,\inf} = \gamma_c R_{hub2} \frac{t_2^2}{6} k_u k_m = 0,8 \cdot 2,26 \cdot 10^6 \cdot \frac{0,28^2}{6} \cdot 1,23 \cdot 1,27 = 36,90 \text{ кН} \cdot \text{м}/\text{м};$$

де $k_m = 1,27$ – поправковий коефіцієнт визначається за даними [1, графік 6 дод. 10] залежно від товщини плити верхнього шару $t_1 = 0,26 \text{ м}$; $k_u = 1,23$ – визначається за методикою, викладеною у прикладі 1, результати обчислень наведені в табл. 9.

13. За формулою норм [1, формула 10 п. 5.58] перевіряємо міцність шарів покриття:

$$m_{d,\sup} = 36,45 \text{ кН} \cdot \text{м}/\text{м} < m_{u,\sup} = 38,03 \text{ кН} \cdot \text{м}/\text{м} (\text{на } 4,3 \%),$$

$$m_{d,\inf} = 36,53 \text{ кН} \cdot \text{м}/\text{м} < m_{u,\inf} = 36,90 \text{ кН} \cdot \text{м}/\text{м} (\text{на } 1,0 \%).$$

Прийнята конструкція двошарового бетонного покриття відповідає умовам міцності.

14. Згідно з нормами [1, п.п. 5.27 і 5.28] відстань між поздовжніми технологічними швами стискання у верхньому шарі покриття приймаємо 7,5 м (при ширині ТЗПС аеродрому класу А, що дорівнює 60 м, передбачаємо застосування бетоноукладальних машин з шириною захвату 7,5 м). За умовами розрахунку покриття у верхньому

Таблиця 9
Обчислення розрахункового числа прикладань навантаження

Літака I-62М

Розрахункові величини	Тип літака		
Число прикладань навантаження від опори літака за проектний строк служби покриття (20 років)	I-62М	B737-200	Tу-134А
Центральні моменти від навантажень літаків m_d і m_{e_d} , кН·м/м	$0,6 \cdot 10^5$	$1,0 \cdot 10^5$	$3,2 \cdot 10^5$
Відношення m_{e_d} / m_{d_e}	$60,82$	$40,59$	$23,36$
Еквівалентне число прикладань навантаження від опори i -го типу літака, приведене до прикладання навантаження від опори розрахункового типу літака	$0,6 \cdot 10^5$	$0,67$	$0,38$
Розрахункове число прикладань навантаження U_d		60	≈ 0
			$\approx 0,6 \cdot 10^5$

Шари між плитами мають бути в'язані скріпами з'єднання, тому задані шви слід виконувати шпунтовими [2, рис. 15.4], що за нормом II. Оскільки товщина верхнього шару $t_1 = 26 \text{ см} < 30 \text{ см}$, згідно з вимогами [1, п. 5.28] між технологічними швами посередині потрібно в'язати скріпами додатковий поздовжній несправжній шов стискання зі штирями [2, рис. 15.4, що за типом I "б"]. Приймаємо штири діаметром 22 мм з виробкою 50 см з кроком 35 см [2, табл. 15.5]. Відстань між поперецтнimi швами стискання у верхньому шарі приймаємо 5 м (з урахуванням того, що $t_1 = 26 \text{ см} < 30 \text{ см}$ [1, п. 5.28]). Ці шви повинні відповідати розглянутим вище швам типу I "б".

Відстань між поздовжніми технологічними швами стискання в нижньому шарі покриття також приймаємо 7,5 м. Ці шви мають бути наскрізними гладкими без стикових з'єднань. Згідно з [1, п. 5.30] довжину плит нижнього шару призначаємо 10 м. Поперечні шви – несправжні стискання без штирів.

Таким чином, плити верхнього шару в плані будуть мати розміри $3,75 \times 5 \text{ м}$, нижнього шару – $7,5 \times 10 \text{ м}$.

Приклад 4. Розрахунок асфальтобетонного покриття

Вихідні дані

Клас аеродрому – В. Типи літаків, які будуть експлуатуватися на аеродромі: B757-200, Tu-204, An-72. Розрахункові характеристики літаків (дод. 3):

Літак B757-200: $F_n = 484,7 \text{ кН}$; $n_k = 4$; $a_T = 0,86 \text{ м}$; $\theta_T = 1,14 \text{ м}$; $n_a = 2$; $p_a = 1,17 \text{ МПа}$.

Літак Tu-204: $F_n = 421,0 \text{ кН}$; $n_k = 4$; $a_T = 0,782 \text{ м}$; $\theta_T = 1,4 \text{ м}$; $n_a = 2$; $p_a = 1,372 \text{ МПа}$.

Літак An-72: $F_n = 140,8 \text{ кН}$; $n_k = 2$; $a_T = 0 \text{ м}$; $\theta_T = 1,3 \text{ м}$; $n_a = 2$; $p_a = 0,65 \text{ МПа}$.

Середньорічна кількість зльотів літаків за типами: для B757-200 $N_f = 3000 \text{ зл/р}$; для Tu-204 $N_f = 5500 \text{ зл/р}$; для An-72 $N_f = 7000 \text{ зл/р}$.

Дорожньо-кліматична зона III, на північ від 50° північної широти. Тип гідрологічних умов – 2. Ґрунт природної основи покриття – суглинок природного залягання ($e = 0,52$). Місцеві будівельні матеріали – щебінь з природного каменю з граничною міцністю при стисканні 80 МПа, гравелістий пісок.

Розрахунок

Виконуємо розрахунок покриття на ділянках групи А [1, п. 5.48].

1. Згідно з нормами [1, п. 5.65] робимо висновок, що при розрахунку покриття літак An-72 не повинен враховуватися, оскільки навантаження на його основну опору $F_{n,d} = 140,8 \text{ кН}$ менше половиної найбільшого навантаження $F_{nl} = 484,7 \text{ кН}$ від літака B757-200 ($F_{n,d} / F_{nl} = 140,8 / 484,7 = 0,29 < 0,5$). При розрахунку потрібно врахувати навантаження від літаків B757-200 і Tu-204 (для літака Tu-204 $F_{n,d} / F_{nl} = 421,0 / 484,7 = 0,87 > 0,5$).

2. Згідно з нормами [1, п.п. 5.6, 5.34-5.36] признаємо конструкцію покриття (рис. 7). З норм [1, табл. 2, 5 і 6 дод. 9] приймаємо розрахункові характеристики матеріалів: шильного асфальтобетону із суміші марок I і II відповідно $E_{ab1} = 12 \cdot 10^2 \text{ МПа}$ і $E_{ab2} = 10 \cdot 10^2 \text{ МПа}$ (при розрахунковій температурі асфальтобетону плюс 15°C у III дорожньо-кліматичній зоні); щебінь з природного каменю з граничною міцністю при стисканні 80 МПа, обробленого в'язким бітулом способом змішування в установці, $E_3 = 7 \cdot 10^2 \text{ МПа}$ (для району з помірним кліматом у III дорожньо-кліматичній зоні);

щебеню з природного каменю з граничною міцністю при стисканні 80 МПа, укладеного способом розклинювання, $E_4 = 3,5 \cdot 10^2$ МПа; гравелістого піску $E_s = 1,5 \cdot 10^2$ МПа. Модуль пружності суглинку в ґрутової основі приймасмо за даними норм [1, дод. 4 і п. 5.60] $E = 28$ МПа.

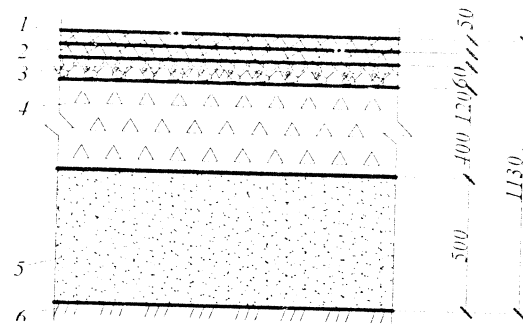


Рис. 7. Конструкція асфальтобетонного покриття:

- 1 щільний асфальтобетон із суміші марки I типу А;
- 2 щільний асфальтобетон із суміші марки II типу Б;
- 3 щебінь з граничною міцністю при стисканні 80 МПа, оброблений бітумом зміщуванням в установці;
- 4 щебінь з граничною міцністю при стисканні 80 МПа укладений способом розклинювання;
- 5 гравелістий пісок;
- 6 суглинок

Сумарна товщина шарів призначеної конструкції покриття

$$t_{tot} = t_1 + t_2 + t_3 + t_4 + t_5 = 0,05 + 0,06 + 0,12 + 0,40 + 0,50 = 1,13 \text{ м.}$$

Згідно з норм [1, п. 5.64] обчислюємо значення одноколісного сквівалентного навантаження F_e для літака B757-200, який має найбільше нормативне навантаження на основну опору F_n і можливо є розрахунковим для покриття. Для цього виконуємо такі проміжні обчислення.

Розрахункове навантаження на колесо основної опори

$$F_d = \frac{F_n}{n_k} k_d \gamma_f = \frac{484,7}{4} \cdot 1,1 \cdot 1,0 = 133,3 \text{ кН,}$$

де k_d і γ_f приймаємо з норм [1, табл. 30].

Мінімальну відстань між найближчими колесами основної опори (у проміжку) a визначаємо з урахуванням геометричних характеристик опори (рис. 8), взятих з норм [1, креслення 10 дод. 10]:

$$a = a_T - 2 \sqrt{\frac{F_d}{1,4 \pi \rho_a}} = 0,86 - 2 \sqrt{\frac{133,3 \cdot 10^3}{1,4 \cdot 3,14 \cdot 1,7 \cdot 10^6}} = 0,54 \text{ м.}$$

Максимальна відстань між колесами основної опори (між центрами їхніх відбітків, рис. 8):

$$a_d = \sqrt{a_T^2 + b_T^2} = \sqrt{0,86^2 + 1,14^2} = 1,43 \text{ м.}$$

За умови виконання

$$t_{tot} = 1,13 \text{ м} \quad a/2 = 0,54/2 = 0,27 \text{ м} \quad i$$

$$t_{tot} = 1,13 \text{ м} < 2a_d/2 = 1,43 = 2,86 \text{ м}$$

значення одноколісного сквівалентного навантаження F_e потрібно визначити згідно з нормами [1, п. 5.64] за формулою

$$F_e = anti \lg \left(\frac{\lg n_k}{\lg a_d} \lg \frac{2t_{tot}}{a} + \lg F_d \right),$$

яка рівновідповідає $F_e = 10^c$,

$$\text{де } c = \frac{\lg n_k}{\lg a_d} \cdot \lg \frac{2t_{tot}}{a} + \lg F_d.$$

Для літака B757-200

$$c = \frac{\lg 4}{\lg 0,54} \cdot \lg \frac{2 \cdot 1,13}{0,54} + \lg 133,3 = 2,49.$$

Тоді $F_e = 10^{2,49} = 309,0 \text{ кН.}$

4. Аналогічно (як це було зроблено для літака B757-200) визначаємо $F_e = 263,0 \text{ кН}$ для літака Ту-204. Переконуємося, що розрахунковим типом літака для даного покриття, як і передбачалося,

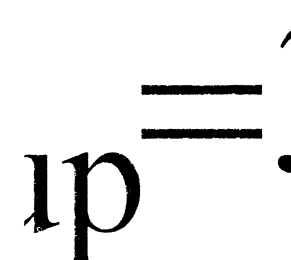


Рис. 8. Розрахункова схема основної опори літака B757-200

є літак B757-200, оскільки він має більше одноколісне еквівалентне навантаження F_e (309,0 кН > 263,0 кН).

Примітка. В поясновальній записці до виконання курсового проекту обчислення значень F_e для всіх літаків, які враховуються, потрібно описувати повністю (як це показано вище для літака B757-200).

Перевірка прогину покриття*

5. За формулою [1, формула 28] визначаємо діаметр круга, рівновеликого площині відбитка одноколісного еквівалентного навантаження F_e від розрахункового типу літака,

$$D_e = 2 \sqrt{\frac{F_e}{\pi p_a}} = 2 \sqrt{\frac{309,0 \cdot 10^3}{3,14 \cdot 1,17 \cdot 10^6}} = 0,58 \text{ м.}$$

6. Середній модуль пружності багатошарової конструкції покриття, включаючи штучну основу,

$$E_{mt} = \frac{E_{ab1}t_1 + E_{ab2}t_2 + E_3t_3 + E_4t_4 + E_5t_5}{t_{tot}} = \\ = \frac{12 \cdot 10^2 \cdot 0,05 + 10 \cdot 10^2 \cdot 0,06 + 7 \cdot 10^2 \cdot 0,12 + 3,5 \cdot 10^2 \cdot 0,4 + 1,5 \cdot 10^2 \cdot 0,5}{1,13} = \\ = 3,71 \cdot 10^2 \text{ МПа.}$$

7. Обчисливши відношення

$$\frac{E}{E_{mt}} = \frac{28}{3,71 \cdot 10^2} = 0,075 \quad \text{i} \quad \frac{t_{tot}}{D_e} = \frac{1,13}{0,58} = 1,95,$$

з номограми [1, креслення 7 дод. 10] визначаємо коефіцієнт $\psi_k = 0,46$.

Далі знаходимо еквівалентний модуль пружності нежорсткої конструкції покриття (включаючи штучну основу) і ґрунтової основи

$$E_{ed} = E_{mt} \psi_k = 3,71 \cdot 10^2 \cdot 0,46 = 1,71 \cdot 10^2 \text{ МПа.}$$

* В описі розрахунків полегшених покріттів (в курсовому проекті – це щебеневі покріття, оброблені бітумом).

8. За формулою [1, формула 26] визначаємо розрахунковий відносний прогин покриття від одноколісного еквівалентного навантаження F_e

$$\lambda_d = 0,9 \frac{p_a}{E_{ed}} = 0,9 \frac{1,17}{1,71 \cdot 10^2} = 0,0062.$$

9. Використовуючи дані про інтенсивність руху літаків B757-200 і Ту-204 (які включені у розрахунок), згідно з нормами [1, п. 5.65] знаходимо приведену повторюваність прикладань N_r розрахункового навантаження. Значення N_r визначається за формулою [1, формула 29]:

$$N_r = \sum_{i=1}^{n_j} N_{i(oo\bar{o})} n_{ai} k_{ni} = 8,2 \cdot 1 \cdot 1,0 + 15,1 \cdot 1 \cdot 0,5 = 15,8 \approx 16 \text{ зл/добу,}$$

де $n_j = 2$ означає кількість типів літаків, які враховуються, а i – порядковий номер літака. В розрахунках нежорстких покріттів на відносний прогин слід приймати $n_a = 1$.

Результати проміжних обчислень N_r записуємо у табличній формі (табл. 10). Зазначимо, що табличні величини D_{ad} і p_{ad} відносяться до розрахункового типу літака (B757-200).

Таблиця 10

Обчислення приведеної повторюваності прикладань розрахункового навантаження літака B757-200

Тип літака	p_{ai} , МПа	D_{ei} , м	D_{ei} / D_{ed}	p_{ai} / p_{ad}	k_{ni} [1, креслення 11 дод. 10]	$N_{i(oo\bar{o})} = \frac{N_{i(pik)}}{365}$, зл/добу	n_{ai}
B757-200	1,17	0,58	1,0	1,0	1,0	8,2	1
Tу-204	1,372	0,49	0,84	1,17	0,5	15,1	1

10. Границний відносний прогин покріття λ_u приймаємо з [1, графік “а” креслення 8 дод. 10] для суглинку, враховуючи тиск повітря в пневматиках коліс розрахункового типу літака $p_a = 1,17 \text{ МПа}$ і приведену повторюваність прикладання навантаження $N_r = 16 \text{ зл/добу}$:

$$\lambda_u = 6,4 \cdot 10^{-3}.$$

11. Перевіряємо умову норм [1, формула 25]:

$$\lambda_d = 0,0062 < \gamma_c \lambda_u = 1,0 \cdot 6,4 \cdot 10^{-3} = 0,0064 \text{ (на } 3,2\%) ,$$

де $\gamma_c = 1,0$ (приймаємо з норм [1, п. 5.60] для ділянок покриття групи А).

Отже, покриття у граничному стані за показником відносного прогину задовільняє нормативні вимоги.

Примітка. В розрахунках нежорстких покріттів розбіжність між числовими значеннями λ_d і λ_u може допускатися у межах 5 % (розбіжність обчислюється відносно значення λ_u).

Перевірка міцності асфальтобетонних шарів покриття на розтяг при згинанні*

12. Згідно з нормами [1, п. 5.64] при $t_{ab} = t_1 + t_2 = 0,05 + 0,06 = 0,11$ м знаходимо одноколісне еквівалентне навантаження від розрахункового літака В757-200, на яке повинен виконуватися зазначений розрахунок міцності асфальтобетонних шарів. Для цього перевіряємо умову

$$t_{ab} = 0,11 \text{ м} < \frac{a}{2} = \frac{0,54}{2} = 0,27 \text{ м.}$$

Результат перевірки показує, що шукане значення одноколісного еквівалентного навантаження потрібно визначити як

$$F_e = F_d = 133,3 \text{ кН.}$$

13. Аналогічно визначаємо $F_e = 115,8$ кН для літака Ту-204. Переконуємося, що розрахунковим типом літака для даного покриття при перевірці міцності асфальтобетонних шарів на розтяг при згинанні с літаком В757-200, оскільки він має більше розрахункове навантаження F_e ($133,3 \text{ кН} > 115,8 \text{ кН}$).

14. Для знайденого значення $F_e = 133,3$ кН за формулою [1, формула 28] визначаємо

$$D_{el} = 2 \sqrt{\frac{F_e}{\pi p_a}} = 2 \sqrt{\frac{133,3 \cdot 10^3}{3,14 \cdot 1,17 \cdot 10^6}} = 0,38 \text{ м.}$$

15. За аналогією з визначенням E_m (п. 6 розрахунку) обчислюємо середній модуль пружності асфальтобетонних шарів

* Ця перевірка виконується лише для асфальтобетонних покріттів.

$$E_{ab} = \frac{E_{ab1}t_1 + E_{ab2}t_2}{t_{ab}} = \\ = \frac{12 \cdot 10^2 \cdot 0,05 + 10 \cdot 10^2 \cdot 0,06}{0,11} = 10,91 \cdot 10^2 \text{ МПа.}$$

16. Таким же чином обчислюємо середній модуль пружності шарів покриття під асфальтобетоном (без урахування ґрунтової основи)

$$E_m = \frac{E_3 t_3 + E_4 t_4 + E_5 t_5}{t_3 + t_4 + t_5} = \\ = \frac{7 \cdot 10^2 \cdot 0,12 + 3,5 \cdot 10^2 \cdot 0,4 + 1,5 \cdot 10^2 \cdot 0,5}{0,12 + 0,4 + 0,5} = 2,93 \cdot 10^2 \text{ МПа.}$$

17. Обчисливши відношення

$$\frac{E}{E_m} = \frac{28}{2,93 \cdot 10^2} = 0,096 \quad \text{i} \quad \frac{t_{tot}}{D_e} = \frac{1,13}{0,58} = 1,95 ,$$

з номограмами [1, креслення 7 дод. 10] знаходимо $\psi_k = 0,5$. Після цього визначаємо еквівалентний модуль пружності шарів покриття під асфальтобетоном з ґрунтовою основою включно

$$E_e = E_m \psi_k = 2,93 \cdot 10^2 \cdot 0,5 = 1,47 \cdot 10^2 \text{ МПа.}$$

18. Обчисливши відношення

$$\frac{E_{ab}}{E_e} = \frac{10,91 \cdot 10^2}{1,47 \cdot 10^2} = 7,42 \quad \text{i} \quad \frac{t_{ab}}{D_{e1}} = \frac{0,11}{0,38} = 0,29 ,$$

з номограмами [1, креслення 9 дод. 10] знаходимо питому напругу розтягу при згинанні в нижньому шарі асфальтобетону

$$\bar{\sigma}_r = 1,74, \text{ яка відповідає значенню } p_a .$$

19. Найбільша напруга розтягу при згинанні в нижньому шарі асфальтобетону

$$\sigma_r = \bar{\sigma}_r \cdot p_a = 1,74 \cdot 1,17 = 2,04 \text{ МПа.}$$

20. Виконавши необхідні проміжні обчислення (табл. 11), за формулою [1, формула 29] знаходимо приведену повторювальність

прикладання N_r розрахункового навантаження, яка враховується при перевірці міцності асфальтобетонних шарів.

$$N_r = \sum_{i=1}^n N_{i(\text{օօօ})} n_{ai} k_{ni} = 8,2 \cdot 2 \cdot 1,0 + 15,1 \cdot 2 \cdot 0,7 = 37,5 \approx 38 \text{ зл/добу.}$$

Таблиця 11

Обчислення приведеної повторювальності прикладань розрахункового навантаження літака В757-200

Тип літака	p_{ai} , МПа	D_{ei} , м	$\frac{D_{ei}}{D_{ed}}$	$\frac{p_{ai}}{p_{ad}}$	k_{ni} [1, креслення 11 дод. 10]	$N_{i(\text{օօօ})} = \frac{N_{i(\text{րիք})}}{365}$, зл/добу	n_{ai}
B757-200	1,17	0,38	1,0	1,0	1,0	8,2	2
Tu-204	1,372	0,33	0,87	1,17	0,7	15,1	2

В табл. 11 значення D_{ei} і D_{ed} повинні відповідати тим, що визначаються за методикою обчислення значення D_{ei} в п. 14 розрахунку.

21. За даними [1, табл. 2 дод. 9] при значенні $N_r = 38 < 50$ зл/добу і розрахунковій температурі асфальтобетону плюс 15 °C (в III дорожньо-кліматичній зоні) приймаємо розрахунковий опір щільного асфальтобетону із суміші марки II в нижньому шарі на розтяг при згинанні $R_d = 2,1$ МПа.

22. Перевіряємо умову [1, формула 27]

$$\sigma_r = 2,04 \text{ МПа} < \gamma_c R_d = 1,0 \cdot 2,1 = 2,10 \text{ МПа (на 2,9%).}$$

Отже, потрібна міцність шарів асфальтобетону на розтяг при згинанні забезпечена.

Примітка. При перевірці міцності асфальтобетонних шарів покриття на розтяг при згинанні вимагається виконання умови [1, формула 27] $\sigma_r \leq \gamma_c R_d$. Якщо за результатами розрахунку реалізується умова $\sigma_r < \gamma_c R_d$, числове значення σ_r повинно якнайменше відрізнятися від значення $\gamma_c R_d$ (хоча розбіжність зазначених величин може бути і більшою, ніж 5%).

Додаток 1

Зразок оформлення титульного аркуша пояснівальної записки до курсового проекту

Напис, який робиться у верхній частині титульного аркуша:

Національний авіаційний університет

Напис, який робиться у середній частині титульного аркуша:

Пояснювальна записка
до виконання курсового проекту
“Розрахунок та конструювання
аеродромних покріттів”

Виконав: студент групи 402 П.В. Шевчук

Керівник: доц. О.М. Олійник

Напис внизу титульного аркуша:

Київ 2005

Додумок 2

Зразок основного напису креслення курсового проекту

Технічні характеристики літаків

Максимальная нагрузка на опору		Виды опор и их параметры		Виды опор и их параметры		Виды опор и их параметры	
Номер опоры	Максимальная нагрузка на опору	Коэффициент использования опоры	Номер опоры	Коэффициент использования опоры	Номер опоры	Коэффициент использования опоры	Номер опоры
Ап-225	600,0	2766,4	14	1,01	1,71	7	1,15
Мрд							
Ап-124-100	398,0	1835,1	10	1,01	1,71	5	1,1
Ап-22	225,0	1013,1	6	1,25	2,5	3	0,5
Ап-701	112,0	499,0	6	0,73	1,5	3	0,75
Ап-12	61,0	277,4	4	0,49	1,23	2	0,75
Ап-74	34,8	157,0	2		1,3	2	0,65
Ап-72	31,2	140,8	2		1,3	2	0,65
Ап-32	27,0	123,7	2	0,5		1	0,49
Ап-26	24,0	109,7	2	0,5		1	0,39
Ап-30	22,1	101,1	2	0,5		1	0,5
Ап-24	21,0	96,0	2	0,5		1	0,49
Ап-140	19,15	84,5	2	0,5		1	0,45
Ап-38	7,0	28,9	1			1	0,45
Ап-28	6,5	26,9	1			1	0,5
Ап-2	5,25	22,1	1			1	0,3
Ап-96	231,0	718,4	4	1,1	1,49	2	1,05
Ап-86	216,4	662,3	4	1,25	1,49	2	0,93
Ап-76Д	191,0	440,3	4	0,64		1	0,69

Закінчення дод. 3

Тип літака	Максимальна злітна маса, т	Нормативне навантаження на основну опору літака E_n , кН	Число коліс на основний опорі n_k	Відстань між централами відбитків коліс основної опори, м		Число осей на основній опорі n_d	Внутрішній тиск новітря в pnevmatikaх основної опори p_d , МПа
				у поперечному напрямку a_T	у поздовжньому напрямку a_T		
Лі-62М	168,0	774,6	4	0,8	1,65	2	1,08
Лі-114	22,75	106,0	2	0,6	-	1	0,588
Ту-154Б	98,0	433,6	6	0,62	1,03 0,98	3	0,932
Ту-204	93,5	421,0	4	0,782	1,4	2	1,372
Ту-134А	47,5	212,9	4	0,56	0,89	2	0,834
Як-42	56,5	269,5	4	0,62	0,98	2	0,88
Як-40	16,0	69,1	1	-	-	1	0,39
А300-В4	157,0	716,2	4	0,93	1,4	2	1,41
B747-200F	379,2	844,4	4	1,12	1,47	2	1,39
B747-200C	373,3	826,3	4	1,12	1,47	2	1,30
B767-300	159,6	724,9	4	1,14	1,42	2	1,21
B707-320C	152,4	698,2	4	0,88	1,42	2	1,24
B757-200	109,3	485,7	4	0,86	1,14	2	1,17
B727-200	78,5	355,7	2	0,86	-	1	1,15
B737-200	52,6	234,9	2	0,78	-	1	1,1
DC-10-40	253,1	936,1	4	1,37	1,63	2	1,17
DC-10-10	196,4	908,5	4	1,37	1,63	2	1,28
DC-8-63	162,4	758,3	4	0,81	1,4	2	1,3
DC-9-82	67,1	313,9	2	0,71	-	1	1,24
L-1011-500	225,9	1023,8	4	1,32	1,78	2	1,27
Трайдент 3	68,3	305,1	4	0,3 0,65 0,3	-	1	1,14
F28.Mk2000НТР	29,5	138,5	2	0,55	-	1	0,69
F27.Mk500	19,8	92,2	2	0,45	-	1	0,54

Примітка. За своїми характеристиками у таблиці літаки можуть бути віднесені до таких категорій нормативного навантаження (табл. 28 СНиП 2.05.08-85): категорія В/к – Ан-225 “Мрія”, Ан-124-100, Лі-62М, B747-200C, B747-200F, DC-10-10, DC-10-40, L-1011-500; категорія I – Лі-96, А300-В4, B767-300, B707-320C, DC-8-63; категорія II – Ан-22, Лі-86, Лі-76T, Лі-76ТД, Ту-204, Ту-154Б, B727-200, B757-200, Ан-72, Ан-74, Ан-32, Ту-134А, Як-42, F28.Mk2000НТР; категорія V – Ан-140, Ан-24, Ан-26, Ан-30, Лі-114, Як-40, F27.Mk500; категорія VI – Ан-38, Ан-28, Ан-2.

СПИСОК ЛІТЕРАТУРИ

1. СНиП 2.05.08-85. Аеродромы. – М.: ЦИТП Госстроя СССР, 1985. – 59 с.
2. БЛОХИН В.И., БЕЛИНСКИЙ И.А., ЦИПРИАНОВИЧ И.В., БИЛЕУШ А.И. Аэродромы гражданской авиации (вертикальная планировка, водоотвод и дренаж, аэродромные покрытия). Учебник для вузов. – М.: Воздуш. трансп., 1996. – 400 с.

ЗМІСТ

ЗАГАЛЬНІ МЕТОДИЧНІ ВКАЗІВКИ	3
МЕТОДИЧНІ ВКАЗІВКИ ДО ВИКОНАННЯ КУРСОВОГО ПРОЕКТУ.....	8
Розрахунок та конструювання аеродромних покріттів.....	8
Вимоги до оформлення матеріалів курсового проекту.....	14
Контроль виконання курсового проекту та його захист	15
ПРИКЛАДИ РОЗРАХУНКУ АЕРОДРОМНИХ ПОКРІТТІВ.....	15
Приклад 1. Розрахунок одношарового бетонного покріття на піщаній штучній основі.....	15
Приклад 2. Розрахунок одношарового армобетонного покріття на ґрунтоцементній штучній основі.....	22
Приклад 3. Розрахунок двошарового бетонного покріття на піщаній штучній основі.....	27
Приклад 4. Розрахунок асфальтобетонного покріття.....	33
Додаток 1.....	41
Додаток 2.....	42
Додаток 3.....	43
СПИСОК ЛІТЕРАТУРИ.....	45

Навчально-методичне видання

РОЗРАХУНОК ТА КОНСТРУЮВАННЯ АЕРОДРОМНИХ ПОКРІТТІВ

Методичні рекомендації
до курсового проєктування
для студентів спеціальності
8.092105 “Автомобільні дороги та аеродроми”

Укладачі: БЄЛІНСЬКИЙ Ігор Олексійович
ПЛИШ Ігор Михайлович
БІЛЕУШ Анатолій Іванович

Технічний редактор *А.І. Лавринович*
Коректор *Л.М. Романова*

Підп. до друку 30.01.06. Формат 60x84/16. Папір офс.
Офс. друк. Ум. фарбовідб.13. Ум. друк. арк. 2,79. Обл.-вид. арк.3,0.
Тираж 100 пр. Замовлення № 20-1. Вид №56/ IV.

Видавництво НАУ
03680, Київ-680, проспект Космонавта Комарова, 1

Свідоцтво про внесення до Державного реєстру ДК № 977 від 05.07.2002